

1 Tutte 参数化

1.1 知识内容

1.1.1 LU 分解

在解方程的步骤中需要用到 Eigen 的 LU 分解功能。LU 分解可以将一个矩阵分解为上三角矩阵和下三角矩阵，分解的原理很简单：通过高斯消元操作可以将矩阵消元为上三角矩阵，而相应的初等变化步骤可以记录为一个下三角矩阵。[详细信息](#)

1.2 代码细节

1.2.1 输入预处理

在读入网格后，需要确认网格是一个亏格为 0 的开网格。之后，将网格的边界点映射到一个圆上。

首先，遍历网格所有顶点，获取边界顶点的数量。之后，随机选择一个顶点为起点 st 。之后，对于点 m ，寻找这样的相邻点 n ：

- n 是一个边界点
- 边 (m, n) 是一个边界边

寻找相邻点的操作通过自定义函数 `find_neighbour` 完成。

从起点 st 开始，依次寻找满足条件的相邻点，之后将这些点有序的存入边界点数组 `Bnd_v_inorder` 中，直到返回起点为止。此时检测边界点数组的 `size` 和总的边界点数量是否相同，如果不同则说明网格并非一个 `disk topology` 的。返回错误。

1.2.2 构建矩阵和解方程

构建矩阵 使用 Eigen 来定义矩阵。使用 $A_{n \times n}$ 用于存放等式的参数，其中 n 是网格顶点的数量。使用矩阵 $b_{n \times 2}$ 用于存放等号右边的数值，其两列分别表示 u, v 的值。

对于边界点 VB 来说，其在参数化结果中的顶点位置是已知的，因而其在 A 的对应行 v_{index} ，仅有第 v_{index} 列的数值为 1。而在 b 的第 v_{index} 行，其两列数值分别为边界点的 uv 坐标。这表示在方程等式中，边界点的值就等于 b 的值。

对于内部点 VI 来说，其值等于其 1-邻域数值的加权平均。因而等式右边的值为 0，而左边有 2 种写法，一种是将邻域顶点对应的列的值写成 $\frac{1}{n}$ ，将 VI 对应的列值记为 -1 ；另一种是将邻域对应的列值记为 1，将 VI 对应的列的值记为 $-n$ 。推荐使用后一种写法。这样做矩阵 A 就是对称的矩阵，有专门的计算方法。

解方程 使用 Eigen 库的 `SparseLU` 的 `solver` 来求解。LU 分解的原理在上面。

1.2.3 后处理

根据上文定义，令 $X = A^{-1} \times b$ ， $X_{n \times 2}$ 就是参数化结果的 UV 坐标。将 X 每行的值分别作为矩阵顶点的位置值即可。

1.3 最终结果

这里展示一个输入网格以及其对应的结果。

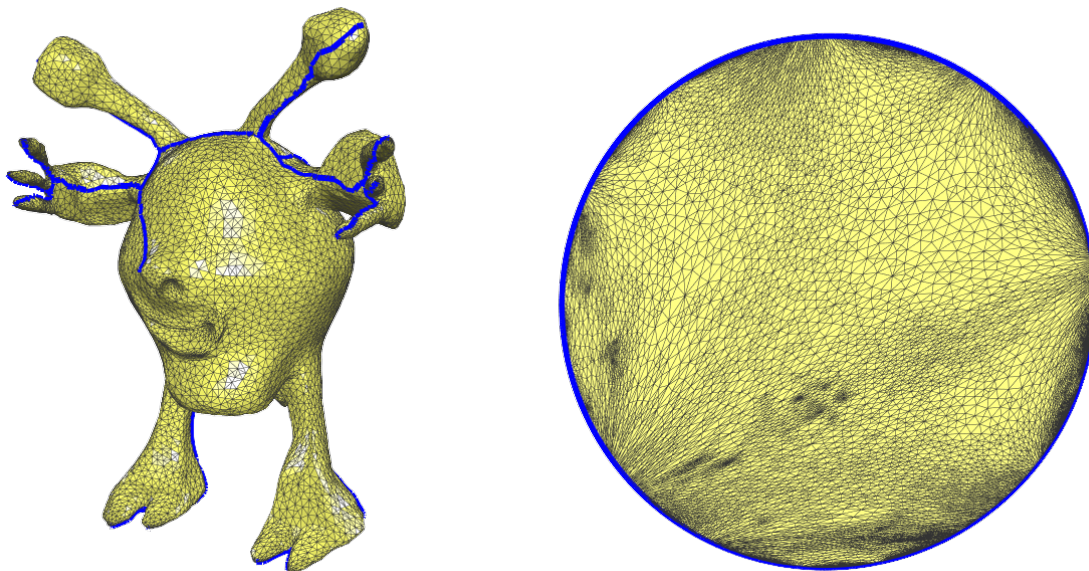


Figure 1: Tutte 参数化结果

2 LSCM

LSCM, Least squares conformal maps, 最小二乘的共形映射。可以获得输入网格的一个共形映射。共形就是相似，参数化后的三角面片和参数化前的三角面片要尽可能的相似。LSCM 提出了一种度量三角面片相似性的能量，通过求这个能量的最小值，就可以获得一个共形参数化的结果。

2.1 知识内容

2.1.1 Jacobian 矩阵

三角形从一个形状到另一个形状的变化可以通过 Jacobian 矩阵来描述。Jacobian 矩阵的定义如图：

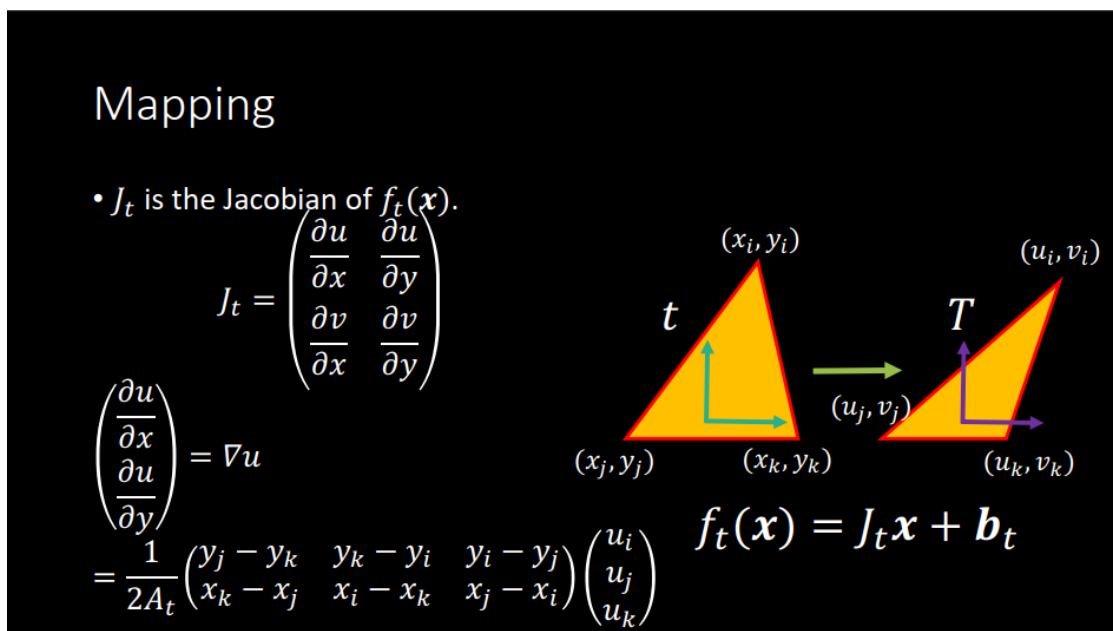


Figure 2: Jacobian 矩阵

2.1.2 共形能量

根据图中描述，给一个三角形乘上一个 Jacobian 矩阵，就可以得到一个形变后的三角形。如果希望每个面片在变形前后保持形状不变，那么其 Jacobian 矩阵最好是一个旋转矩阵。对于一个二维的旋转矩阵，其应该类似于这样：(绘制

矩阵的方法)

$$\begin{pmatrix} \cos \theta & -\sin \theta \\ \sin \theta & \cos \theta \end{pmatrix}$$

而 **Jacobian** 矩阵的写法是

$$J = \begin{pmatrix} \frac{\partial u}{\partial x} & \frac{\partial u}{\partial y} \\ \frac{\partial v}{\partial x} & \frac{\partial v}{\partial y} \end{pmatrix}$$

要使得 **Jacobian** 矩阵类似于旋转矩阵，就需要令 $\frac{\partial u}{\partial x} = \frac{\partial v}{\partial y}, \frac{\partial u}{\partial y} = -\frac{\partial v}{\partial x}$ 。据此可以定义二次能量：

$$E_{LSCM} = \sum_t A_t \left(\left(\frac{\partial u}{\partial x} - \frac{\partial v}{\partial y} \right)^2 + \left(\frac{\partial u}{\partial y} + \frac{\partial v}{\partial x} \right)^2 \right)$$

优化这个能量即可。这个这个能量是旋转不变的。然而，根据式子可以发现，这个能量的最小值不唯一，所以还需要固定两个顶点的位置。

2.1.3 能量优化

该能量是一个二次能量，因此可以通过分别求偏导数直接获得最小值。

2.2 代码细节

2.2.1 输入参数

LSCM 需要固定两个顶点，所以算法的输入参数为网格名和两个顶点。

2.2.2 构建矩阵

能量 E_{LSCM} 是由 $2n$ 个未知数构成的一个很长的等式，这里 n 是顶点的数量，每个点有 uv 坐标所以一共 $2n$ 个。对这 $2n$ 个未知数分别求偏导，就可以得到 $2n$ 个等式。另外，需要固定 2 个顶点的位置，所以还会有 4 个等式。所以一共是 $2n+4$ 个等式。

等式的系数通过 **Jacobian** 矩阵数值来确定，就是那个 2×3 的矩阵。

因此，使用矩阵 $A_{2n+4, 2n+4}$ 来记录方程组的所有系数，使用 b_{2n+4} 记录方程组右边的数值。

由于 A 是稀疏矩阵，所以使用 **Eigen** 的稀疏矩阵功能来表示，具体写法见代码。

2.2.3 解方程

由于 A 非对称，使用 **Eigen** 库的 **SparseLU** 的 **solver** 来求解。

2.3 后处理

根据上文定义，令 $X = A^{-1} \times b$ ， $X_{n \times 2}$ 就是参数化结果的 **UV** 坐标。将 X 每行的值分别作为矩阵顶点的位置值即可。

2.4 最终结果

这里展示一个输入网格以及其对应的结果。

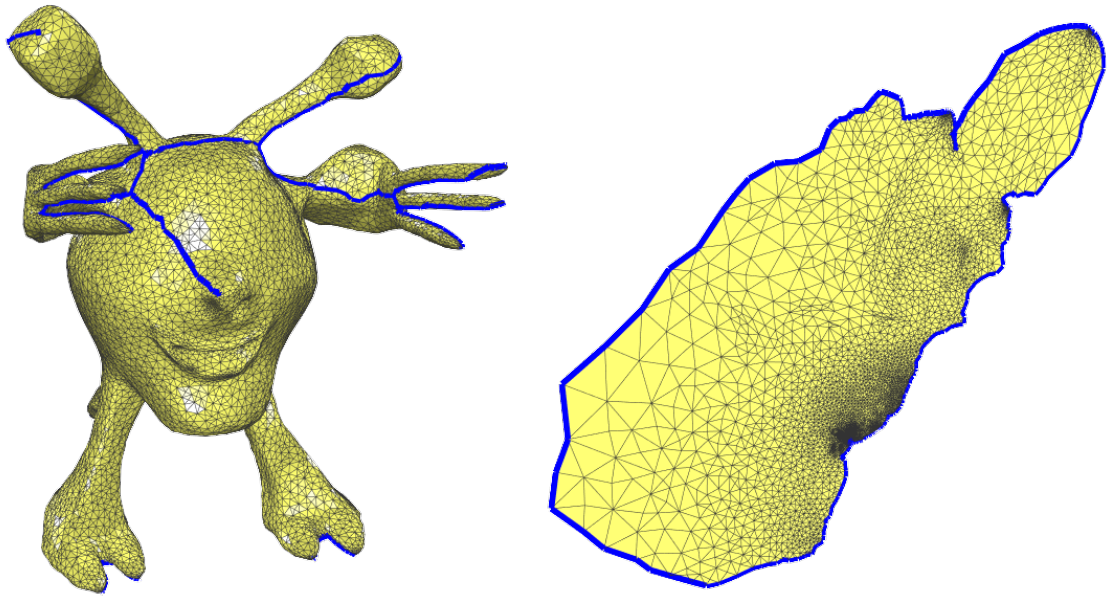


Figure 3: LSCM 参数化结果

3 ABF 参数化

ABF, Angle-Based Flattening, 保持角度的 Flattening。这个方法的想法比较直观：依旧希望参数化后的三角形和之前的三角形的角度相同。LSCM 通过三角形的 Jacobian 矩阵来度量相似的程度，而 ABF 则设法直接保持角度。

3.1 算法描述

3.1.1 能量项

ABF 方法的能量项为：

$$E_{ABF} = \sum_t \sum_{i=1}^3 \omega_i^t (\alpha_i^t - \beta_i^t)^2$$

这其中， t 是三角面片， β 是输入网格的三角形的每个角的度数，是已知量； α 是要求的参数化后的三角形的角度； ω 是和 β 相关的量。详细的定义为(如何画大括号?)

$$\beta_i^t = \begin{cases} \frac{\tilde{\beta}_i^t \cdot 2\pi}{\sum_i \tilde{\beta}_i^t}, & \text{Interior Vertex} \\ \tilde{\beta}_i^t, & \text{Boundary Vertex} \end{cases}$$

$$\omega_i^t = (\beta_i^t)^{-2}$$

3.1.2 约束项

此外，参数化后的三角形还应当满足如下约束。

1. 所有的角都应该是大于 0 的， $\alpha_i^t > 0$ 。在代码中本项不纳入考虑。
2. 三角形内角和为 π ， $\alpha_1^t + \alpha_2^t + \alpha_3^t = \pi$
3. 一个顶点一邻域的角度之和应当为 2π ， $\sum_{t \in \Omega(v)} \alpha_k^t = 2\pi$
4. 重建约束：

$$\prod_{t \in \Omega(v)} \sin \alpha_{k \oplus 1}^t = \prod_{t \in \Omega(v)} \sin \alpha_{k \ominus 1}^t$$

重建约束 重建约束的含义如右图所示。由于算法只关心约束角度，那么理论上三角形应当是可以放缩的。那么为了使一个点的 1-邻域三角形可以完美的咬合。其推导过程如下：

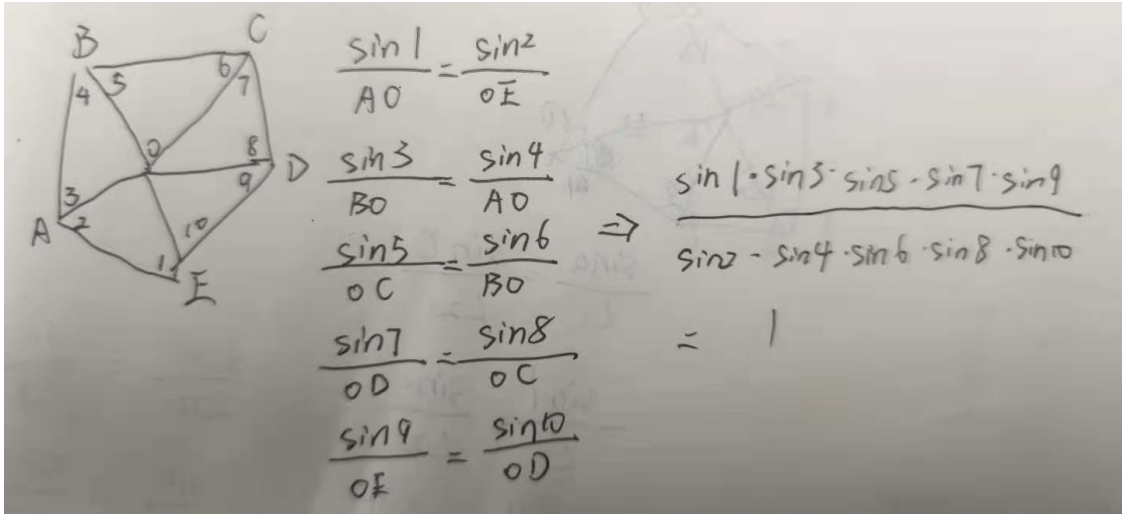


Figure 4: 重建约束的推导

这项约束涉及三角函数，是非线性的，所以需要将其取对数后泰勒展开，只保留第一项，转变成线性约束。用初始估计 γ 和误差项 e 来表示 $\alpha, \alpha_i^t = \gamma_i^t + e_i^t$

$$\begin{aligned} \log(\sin \alpha_{k \oplus 1}^t) &= \log(\sin \gamma_{k \oplus 1}^t + e_{k \oplus 1}^t) \\ &= \log(\sin \gamma_{k \oplus 1}^t) + e_{k \oplus 1}^t \cot \gamma_{k \oplus 1}^t \end{aligned}$$

那么最终重建约束的线性形式是：

$$\log \sin 1 + e_1 * \cot 1 - \log \sin 2 + e_2 * \cot 2 + \log \sin 3 + e_3 * \cot 3 + \dots = 0$$

这其中， e_i 是未知量， \cot 是权重， $\log \sin$ 是等式右边的数值。

3.1.3 从角度重建 UV 坐标

贪婪法 贪婪法首先选择起始边 $e^1 = (v_a^1, v_b^1)$ ，将两个顶点投影到 $(0, 0, 0), (\|e^1\|, 0, 0)$ ，随后将起始边压入栈 S 中。当 S 不为空的时候，每次从栈中取一条边 $e = (v_a, v_b)$ ，对于每个含有该边的面 $f_i = (v_a, v_b, v_c)$ ：

- 如果 f_i 被标记了，则 **continue**
- 如果 v_c 未被投影，则根据 v_a, v_b, f_i 的信息，投影 v_c 。之后标记 f_i ，并且将 (v_b, v_c) 以及 (v_a, v_c) 压栈

这种做法会导致误差积累。

最小二乘方法 由于三角形的三个角是已知的，那么对于其三个顶点 P_k, P_j, P_l 以及其三个角 $\alpha_k, \alpha_j, \alpha_l$ 来说，根据正弦定理可以得到 (P_k, P_l) 与 (P_k, P_j) 的长度比值，通过旋转矩阵则可以将其中一条边旋转到另一条边的角度。如果记 M 为旋转矩阵乘以长度比值，就可以得到等式

$$M(P_k - P_j) + P_j - P_l = 0$$

其中， M 是根据正弦定理表达的长度比值乘以旋转矩阵：

$$M = \frac{\sin \alpha_k}{\sin \alpha_l} \begin{pmatrix} \cos \alpha_j & -\sin \alpha_j \\ \sin \alpha_j & \cos \alpha_j \end{pmatrix}$$

可以将这个的平方作为约束的能量，之后求解方程，将贪婪法之中的误差均摊到各条边上。能量记作：

$$E = \sum_t \|M^t(P_k - P_j) + P_j - P_l\|^2$$

当然，这么做依旧需要固定两个点的位置。对于每一个三角面片 t ，其三个顶点 j, k, l 所对应的能量展开形式为：

$$\begin{aligned} E &= \left\| \begin{pmatrix} M_{00} & M_{01} \\ M_{10} & M_{11} \end{pmatrix} \begin{pmatrix} x_k - x_j \\ y_k - y_j \end{pmatrix} + \begin{pmatrix} x_j - x_l \\ y_j - y_l \end{pmatrix} \right\|^2 \\ &= \left\| \begin{pmatrix} M_{00}(x_k - x_j) + M_{01}(y_k - y_j) + (x_j - x_l) \\ M_{10}(x_k - x_j) + M_{11}(y_k - y_j) + (y_j - y_l) \end{pmatrix} \right\|^2 \\ &= (M_{00}(x_k - x_j) + M_{01}(y_k - y_j) + (x_j - x_l))^2 + (M_{10}(x_k - x_j) + M_{11}(y_k - y_j) + (y_j - y_l))^2 \\ &= (M_{00}x_k + (1 - M_{00})x_j + M_{01}y_k - M_{01}y_j - x_l)^2 + (M_{10}x_k - M_{10}x_j + M_{11}y_k + (1 - M_{11})y_j - y_l)^2 \end{aligned}$$

分别对 $x_j, y_j, x_k, y_k, x_l, y_l$ 求偏导，可以获得 (能量有 2 个部分，这里上下行要相加，为了方便阅读写成这样)

$$\begin{aligned}
\frac{\partial E}{\partial x_j} &= \begin{matrix} 2(1-M_{00})^2 x_j & 2M_{00}(1-M_{00})x_k & -2(1-M_{00})x_l & -2M_{01}(1-M_{00})y_j & 2M_{01}(1-M_{00})y_k & 0 \\ 2M_{10}^2 x_j & -2M_{10}^2 x_k & 0 & -2M_{10}(1-M_{11})y_j & -2M_{10}M_{11}y_k & 2M_{10}y_l \end{matrix} \\
\frac{\partial E}{\partial x_k} &= \begin{matrix} 2M_{00}(1-M_{00})x_j & 2M_{00}^2 x_k & -2M_{00}x_l & -2M_{00}M_{01}y_j & 2M_{00}M_{01}y_k & 0 \\ -2M_{10}^2 x_j & 2M_{10}^2 x_k & 0 & 2M_{10}(1-M_{11})y_j & 2M_{10}M_{11}y_k & -2M_{10}y_l \end{matrix} \\
\frac{\partial E}{\partial x_l} &= \begin{matrix} -2(1-M_{00})x_j & -2M_{00}x_k & 2x_l & 2M_{01}y_j & -2M_{01}y_k & 0 \\ 0 & 0 & 0 & 0 & 0 & 0 \end{matrix} \\
\frac{\partial E}{\partial y_j} &= \begin{matrix} -2M_{01}(1-M_{00})x_j & -2M_{01}M_{00}x_k & 2M_{01}x_l & 2M_{01}^2 y_j & -2M_{01}^2 y_k & 0 \\ -2(1-M_{11})M_{10}x_j & 2(1-M_{11})M_{10}x_k & 0 & 2(1-M_{11})^2 y_j & 2(1-M_{11})M_{11}y_k & -2(1-M_{11})y_l \end{matrix} \\
\frac{\partial E}{\partial y_k} &= \begin{matrix} 2M_{01}(1-M_{00})x_j & 2M_{01}M_{00}x_k & -2M_{01}x_l & -2M_{01}^2 y_j & 2M_{01}^2 y_k & 0 \\ -2M_{10}M_{11}x_j & 2M_{10}M_{11}x_k & 0 & 2M_{11}(1-M_{11})y_j & 2M_{11}^2 y_k & -2M_{11}y_l \end{matrix} \\
\frac{\partial E}{\partial y_l} &= \begin{matrix} 0 & 0 & 0 & 0 & 0 & 0 \\ 2M_{10}x_j & -2M_{10}x_k & 0 & -2(1-M_{11})y_j & -2M_{11}y_k & 2y_l \end{matrix}
\end{aligned}$$

3.2 知识背景

由于重构约束项的相关处理，算法以变化前后的角度之差 \mathbf{e} 作为变量。另外，第一项约束不予以考虑，因此本问题就是一个带有线性约束的二次能量优化，可以用拉格朗日乘数法来解决。

3.2.1 拉格朗日乘数法

可以用于求带约束的二次能量的极值。以下是一个例子：(如何排版优化问题公式)

$$\begin{aligned}
\min \quad & E = x_1^2 + 2x_2^2 + 3x_3^2 \\
s.t. \quad & x_1 + x_2 = 2 \\
& x_1 + 4x_3 = 4
\end{aligned}$$

对于每一个等式约束，都在其前面加上一个 λ ，之后将约束也作为优化能量的一个部分，可以写成

$$\min \quad L = x_1^2 + 2x_2^2 + 3x_3^2 - \lambda_1(x_1 + x_2 - 2) - \lambda_2(x_1 + 4x_3 - 4)$$

接下来，分别对 $x_1, x_2, x_3, \lambda_1, \lambda_2$ 求偏导并且令其等于 0，就得到了 5 个式子：

$$\begin{aligned}
\frac{\partial L}{\partial x_1} &= 2x_1 & -\lambda_1 - \lambda_2 &= 0 \\
\frac{\partial L}{\partial x_2} &= 4x_2 & -\lambda_1 &= 0 \\
\frac{\partial L}{\partial x_3} &= 6x_3 & -4\lambda_2 &= 0 \\
\frac{\partial L}{\partial \lambda_1} &= x_1 + x_2 & &= 2 \\
\frac{\partial L}{\partial \lambda_2} &= x_1 + 4x_3 & &= 4
\end{aligned}$$

这样就可以将左边的值写成一个矩阵，通过求逆矩阵后乘以右边的就可以求出 $x_1, x_2, x_3, \lambda_1, \lambda_2$ 的数值。

$$\begin{pmatrix} x_1 \\ x_2 \\ x_3 \\ \lambda_1 \\ \lambda_2 \end{pmatrix} = \begin{pmatrix} 2 & 0 & 0 & -1 & -1 \\ 0 & 4 & 0 & -1 & 0 \\ 0 & 0 & 6 & 0 & -4 \\ 1 & 1 & 0 & 0 & 0 \\ 1 & 0 & 4 & 0 & 0 \end{pmatrix}^{-1} \begin{pmatrix} 0 \\ 0 \\ 0 \\ 2 \\ 4 \end{pmatrix} = \begin{pmatrix} 1.4902 \\ 0.5098 \\ 0.62745 \\ 2.0392 \\ 0.94118 \end{pmatrix}$$

3.3 代码细节

3.3.1 数据预处理

使用二维数组 `fid_2_vid` 存储面和顶点的信息。可以根据面 `id` 和既定的 `idx(idx=0,1,2)` 查找顶点的 `id`。

定义数据结构 `angle_info_`，存放角的信息，包含角度和在重建约束中是正还是负。

使用 `real_angle_info` 和 `angle_info` 来存放每个面每个角的 `angle_info_` 信息。前者是真实的值，存放的是 $\tilde{\beta}_i^t$ 。后者是对内部点的角度进行加权平均之后的值，存放的是 β_i^t 。能量的权重等于其值的平方的倒数。

3.3.2 构建能量所对应的系数矩阵

在 `angle_info` 中已经存储了权重信息，因而对此进行填数值就可以了。使用 `dim` 记录需要的总维度，这个维度的值显然是 $3 \times nf$ 。之后建立系数矩阵 $A_{dim \times dim}$ 。往斜对角线的位置填入相应数值即可。

3.3.3 填写内角和约束

由于算法求取的是网格角度的变化，那么每个面片的变化和应当等于 π 减去 `angle_info_` 中存储的角度信息之和。一共有 `nf` 个面片。所以在系数矩阵的 $3*nf$ 到 $3*nf+nf$ 行应当填入这些数值。

3.3.4 填写顶点 1-邻域的角度和约束

这些约束仅仅针对内部点，因此首先要统计内部点的数量。之后，对于每个内部点，遍历其 1-邻域的面，通过 (面-点) 为键值查找到对应的角度值以及记录中的点在面上的 `id`，这个 `id` 用于填写矩阵的行和列。最终用 2π 减去点 1-邻域点之和，结果填入 `b` 的对应行中。

3.3.5 填写重构约束

这是一项精神污染的工作。对于每个内部点 v ，首先，确认该顶点有多少个 1-邻面。选择其一个 1-邻面 f_{it} 作为起始面，查找该面的两个顶点并且分别设置其面内坐标为 `fv_positive_idx` 和 `fv_negative_idx`，表示 $+1$ 和 -1 ；

已知面 `id`，`positive` 和 `negative` 的面内坐标，就可以在 `angle_info` 中查找到两个角度 γ ，根据 γ 的值设置系数矩阵 A 以及值向量 b 中的对应值。

已知中心顶点 `vh`，面 `positive` 的顶点，可以查找到这两个点中间的边；根据这条边和面 `id`，可以找到这条边相邻的另一条面。将其记录为下一个面 `id`；在这个面中之前的 `positive` 的点自然是 `negative` 的点，那么就确定下一个面的 `positive` 的点。至此，面 `id`、面 `positive` 顶点、面 `negative` 顶点都是已知的，完成一次迭代。

直到所有邻面都遍历过为止。

3.3.6 使用最小二乘方法还原边

装填完毕矩阵之后，使用 `SparseLU` 求解。之后获得残差后加上原本的角度，就得到新的角度 α 。在计算完毕角度之后，要使用最小二乘的方法来还原顶点位置。依旧是构造系数矩阵和解方程。

首先定义系数矩阵的维度。这是一个带有 2 个固定点位置的二次能量，能量项含有 $2*nv$ 个点，2 个固定点会产生 4 个 λ ，所以维度是 $2nv + 4$

遍历每一个面，按照上面的表格，对矩阵进行赋值；

最后再处理两个固定点即可。

3.4 最终结果

这里展示一个输入网格以及其对应的结果。其中，粉色直线是固定的边以及两个点。在这两个点周围，存在较大的扭曲。

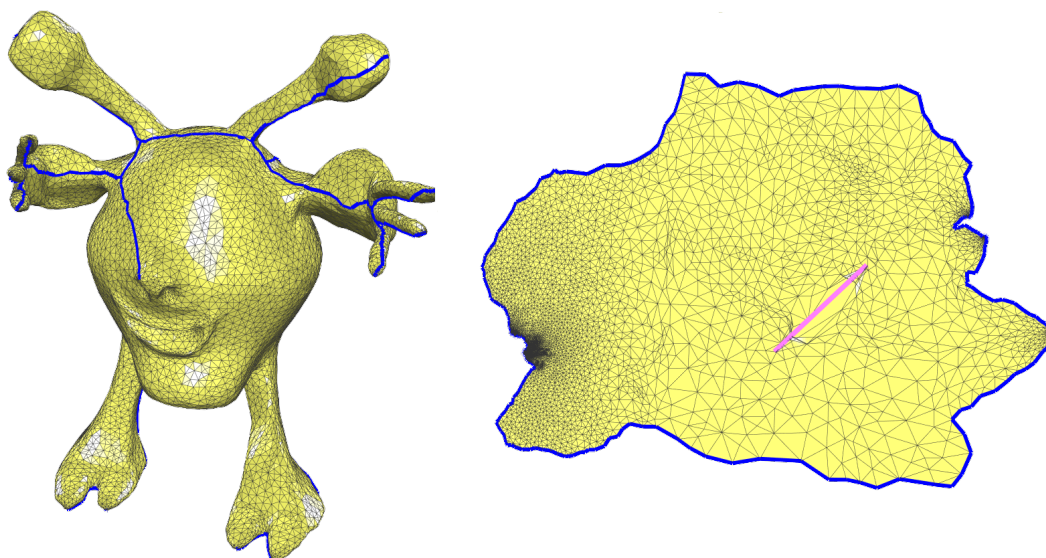


Figure 5: ABF 参数化结果

4 ARAP 参数化

As-rigid-as-possible method, 目标是使得参数化前后的网格面片尽可能保持刚性 (**rigid**)

4.1 知识背景

4.1.1 三种类型的映射

定义

1. **Isometric mapping**: 等距映射, 指只允许面片进行旋转和平移
2. **Conformal mapping**: 共形映射, 相似映射, 保持角度, 映射前后三角形面片可以相似
3. **Area-preserving mapping**: 保面积映射, 映射前后三角形面积相等

如果一个映射既保持了面积又是共形的, 那么就是一个等距的映射。

性质 对于一个等距映射来说, 映射前后的三角面片的 **Jacobian** 矩阵是一个旋转矩阵, 且矩阵的两个奇异点 $\sigma_1 = \sigma_2 = 1$; 对于共形映射来说, 其 **Jacobian** 是一个相似矩阵, 矩阵的两个特征值相等, $\sigma_1 = \sigma_2$; 而保面积的映射, 其 **Jacobian** 矩阵的行列式的值为 1, 也就是 $\sigma_1 \sigma_2 = 1$

4.1.2 F 范数

矩阵 **A** 的 **Frobenius** 范数的定义为

$$\|A\|_F = \sqrt{\sum_{i=1}^m \sum_{j=1}^n |a_{ij}|^2}$$

也就是将矩阵中每个元素求平方之后求和之后再开根号。

4.1.3 ARAP 能量

ARAP 能量被定义为

$$E(u, L) = \sum_t A_t \|J_t - L_t\|_F^2$$

其中, A_t 是面积。 J_t 是面片的 **Jacobian**, L_t 是需要求的目标旋转矩阵, 另外, 点的 UV 坐标也是需要求的变量, 因为这个的值决定 **Jacobian** 矩阵。

优化方式: Local-Global Approach 对于这种能量, 使用 **Local-Global** 交错优化的方式进行优化。在 **local** 阶段, 将点的 **UV** 坐标固定住, 优化 L_t ; 在 **Global** 阶段, 固定 L_t , 优化点的 **UV** 坐标。

在 **Global** 阶段, 优化的 **UV** 坐标就是常规二次能量, 通过解一个线性方程组实现。

在 **Local** 阶段, 基于 **Procrustes analysis(普式分析)**的方法, 使用一个 2×2 的矩阵 L_t 来尽可能的近似 2×2 的矩阵 J_t 。通过优化 $d(J_t, L_t) = \|J_t - L_t\|_F^2 = \text{trace}((J_t - L_t)^T(J_t - L_t))$ 使得两个矩阵尽可能相似。